

Fig. 1

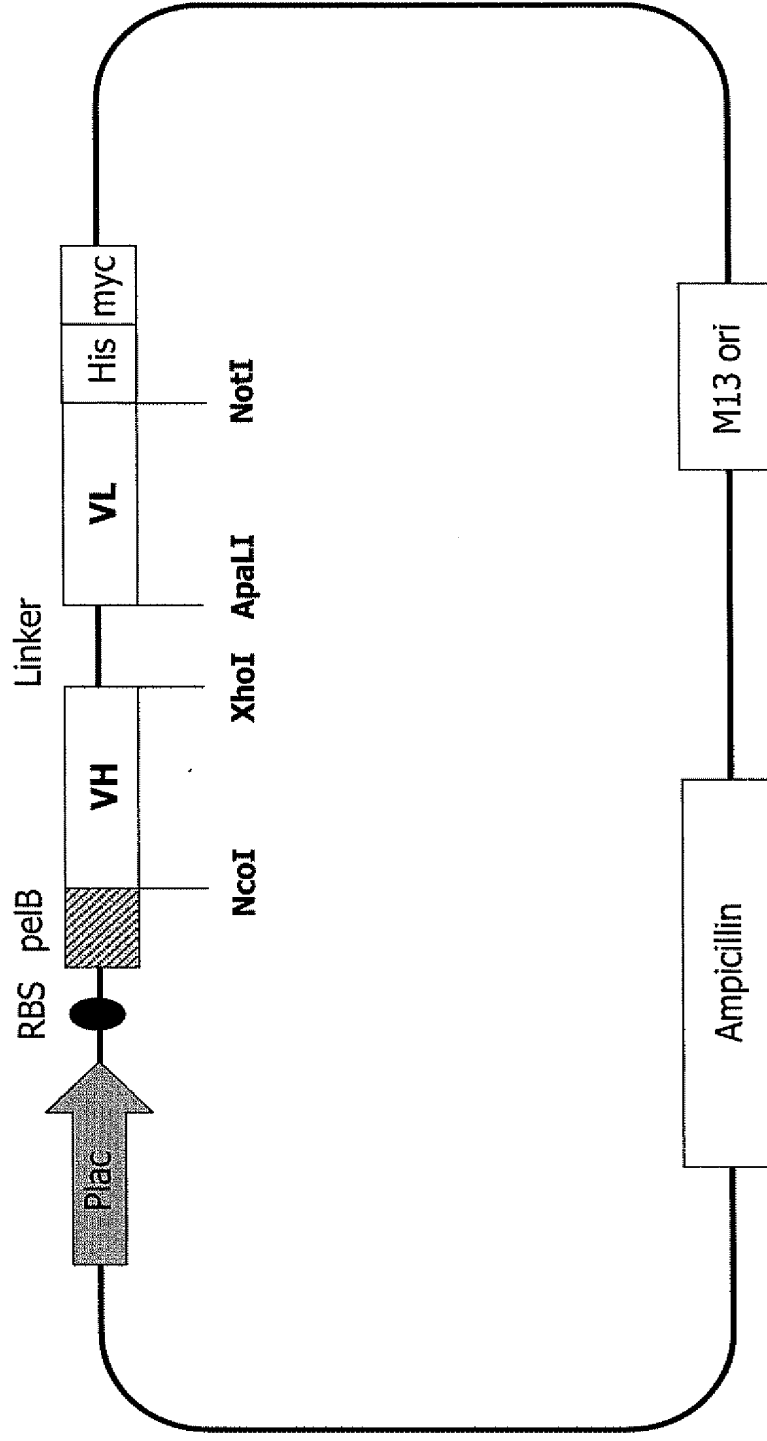


Fig. 2

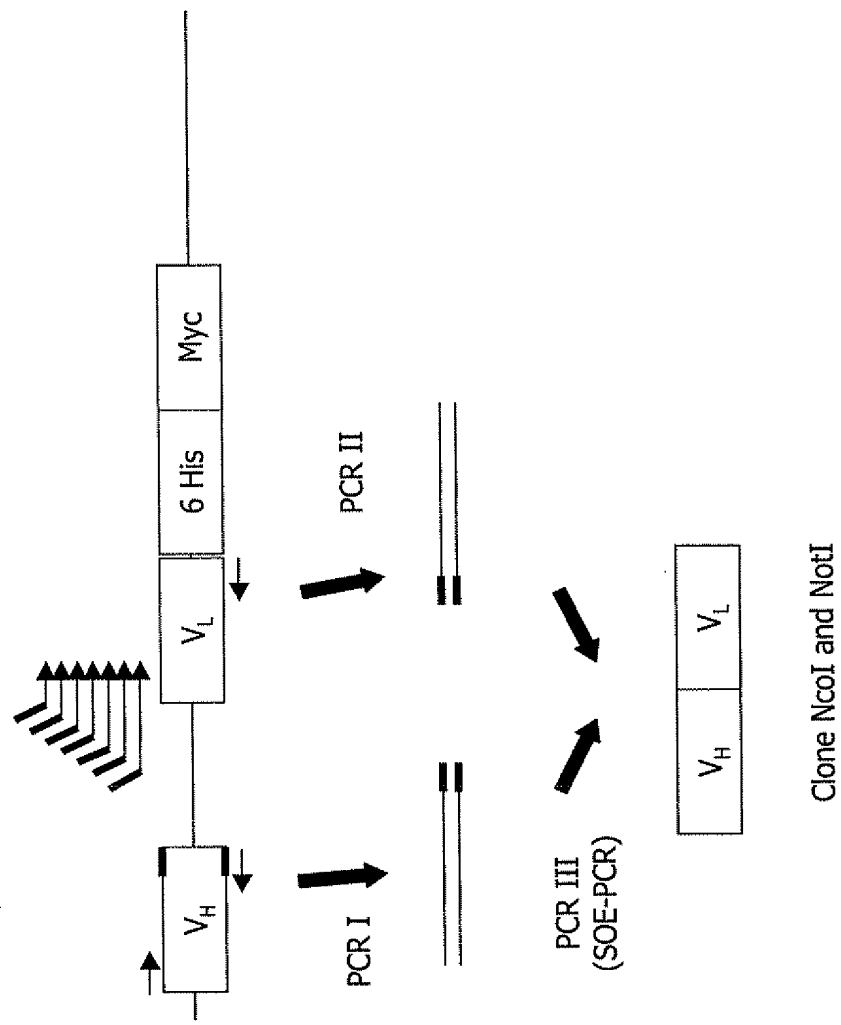


Fig. 2

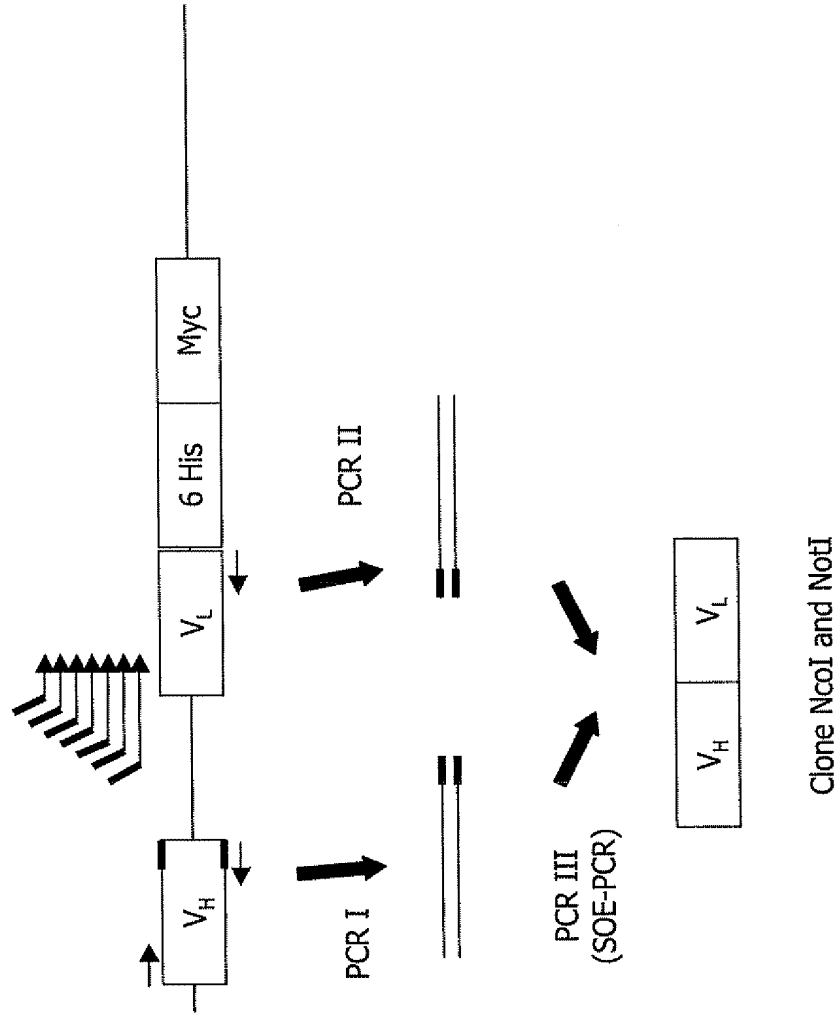


Fig. 3

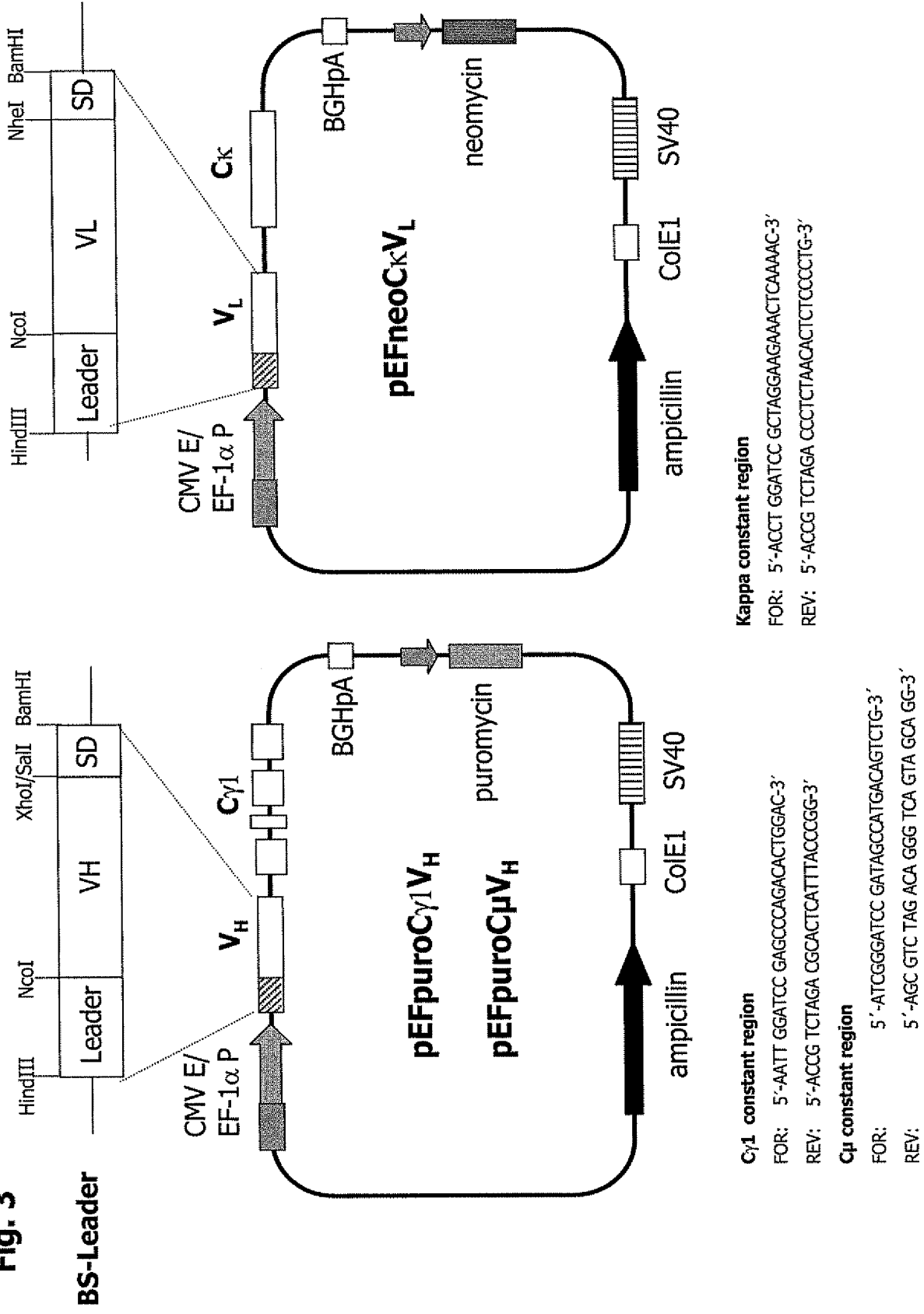


Fig. 4

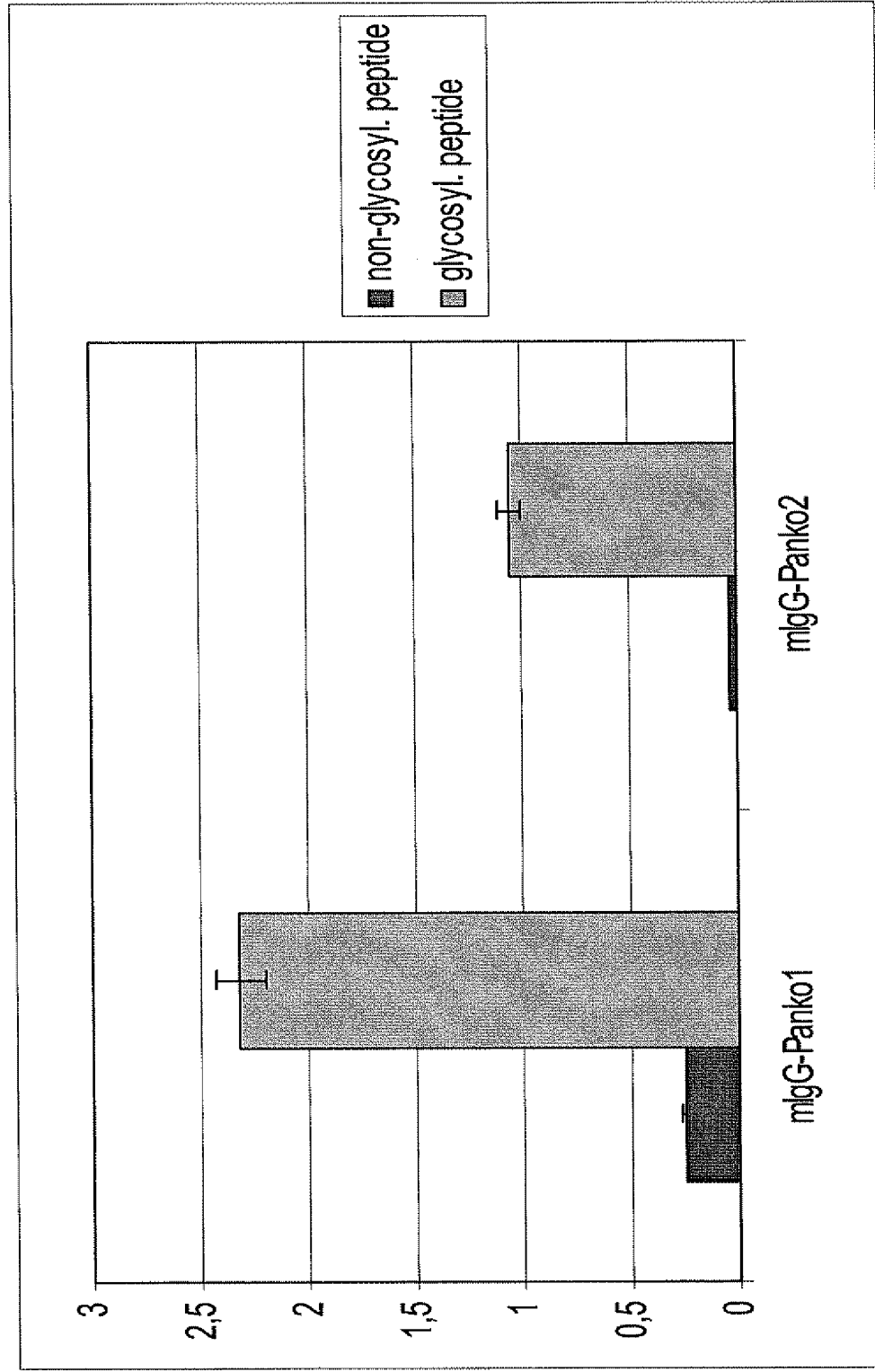


Fig. 5

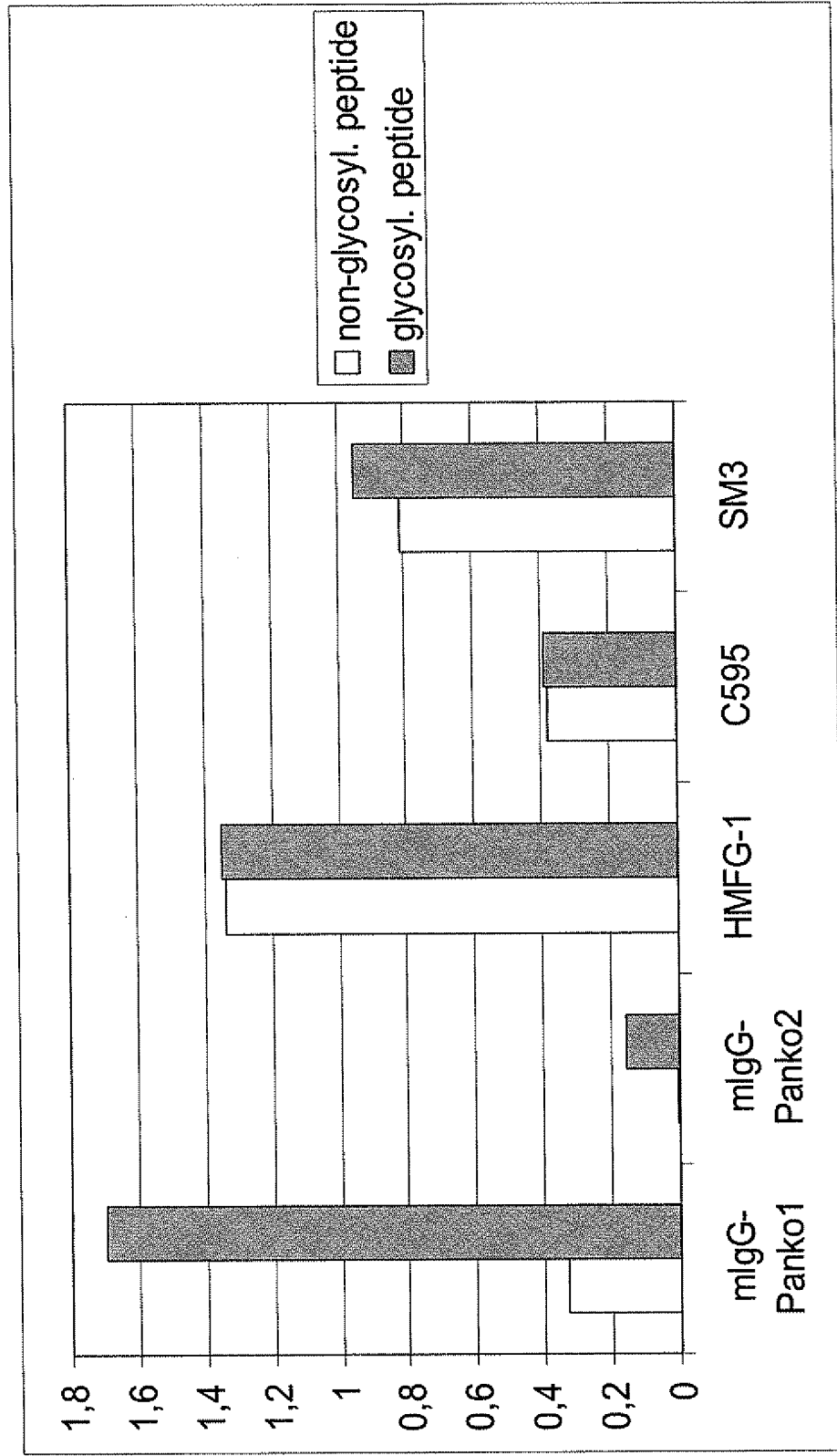


Fig. 6

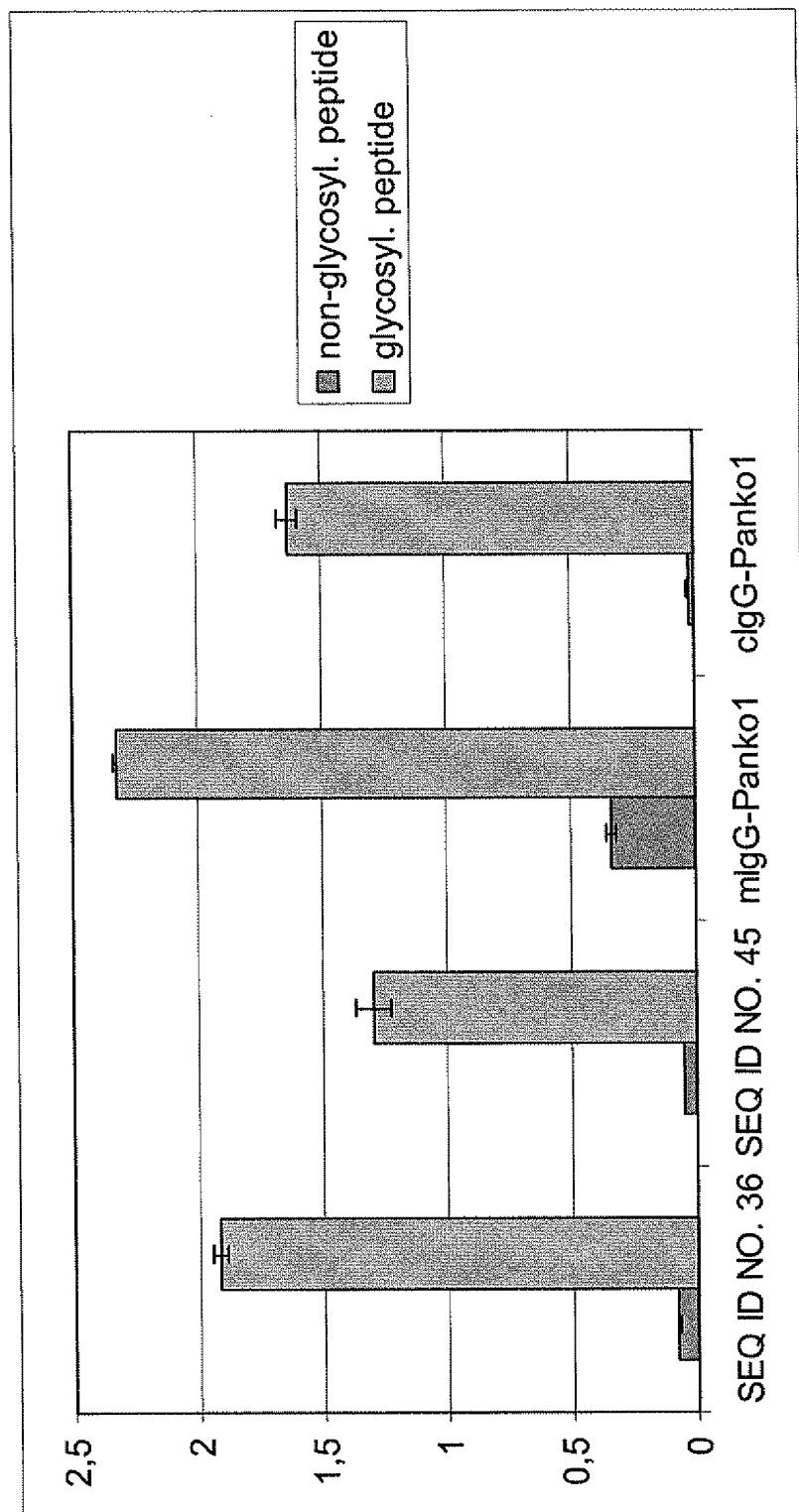


Fig. 7

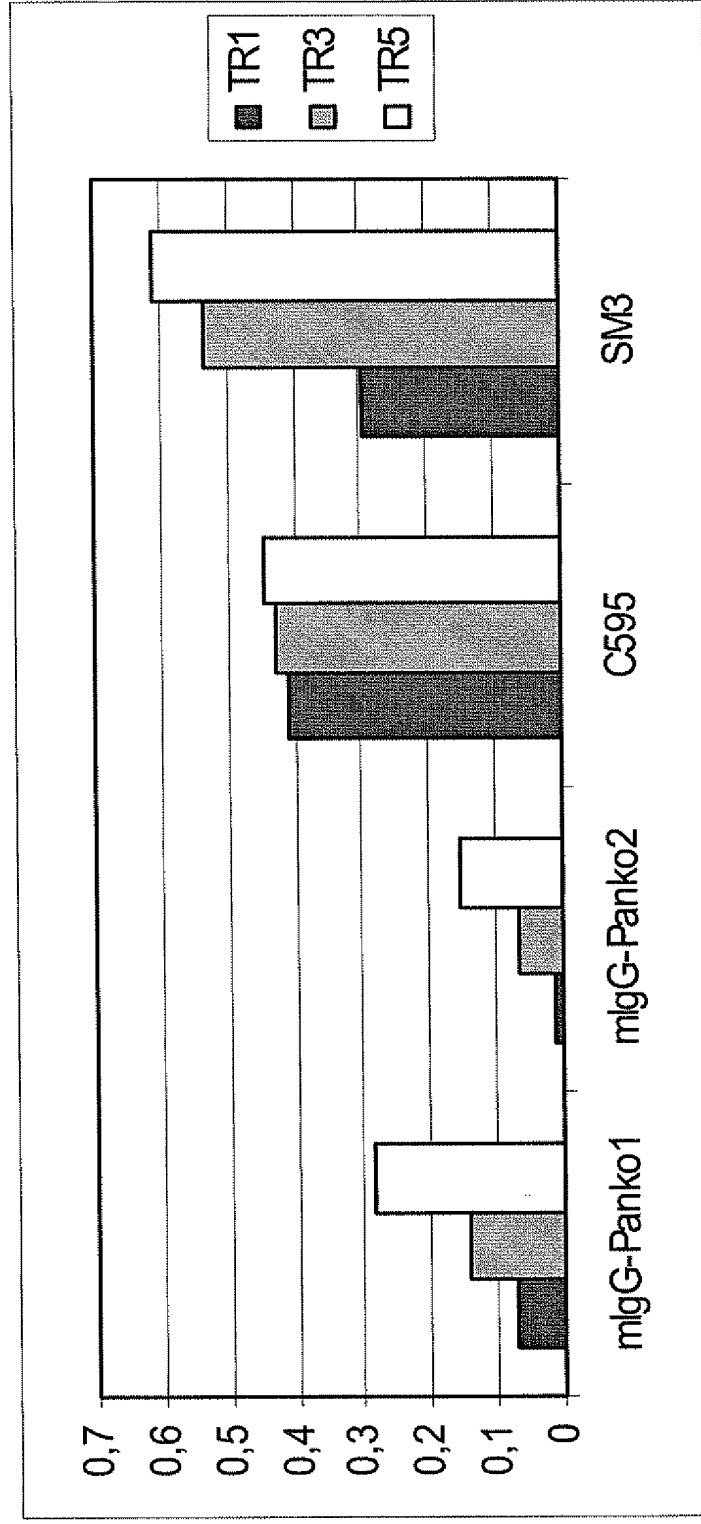


Fig. 8

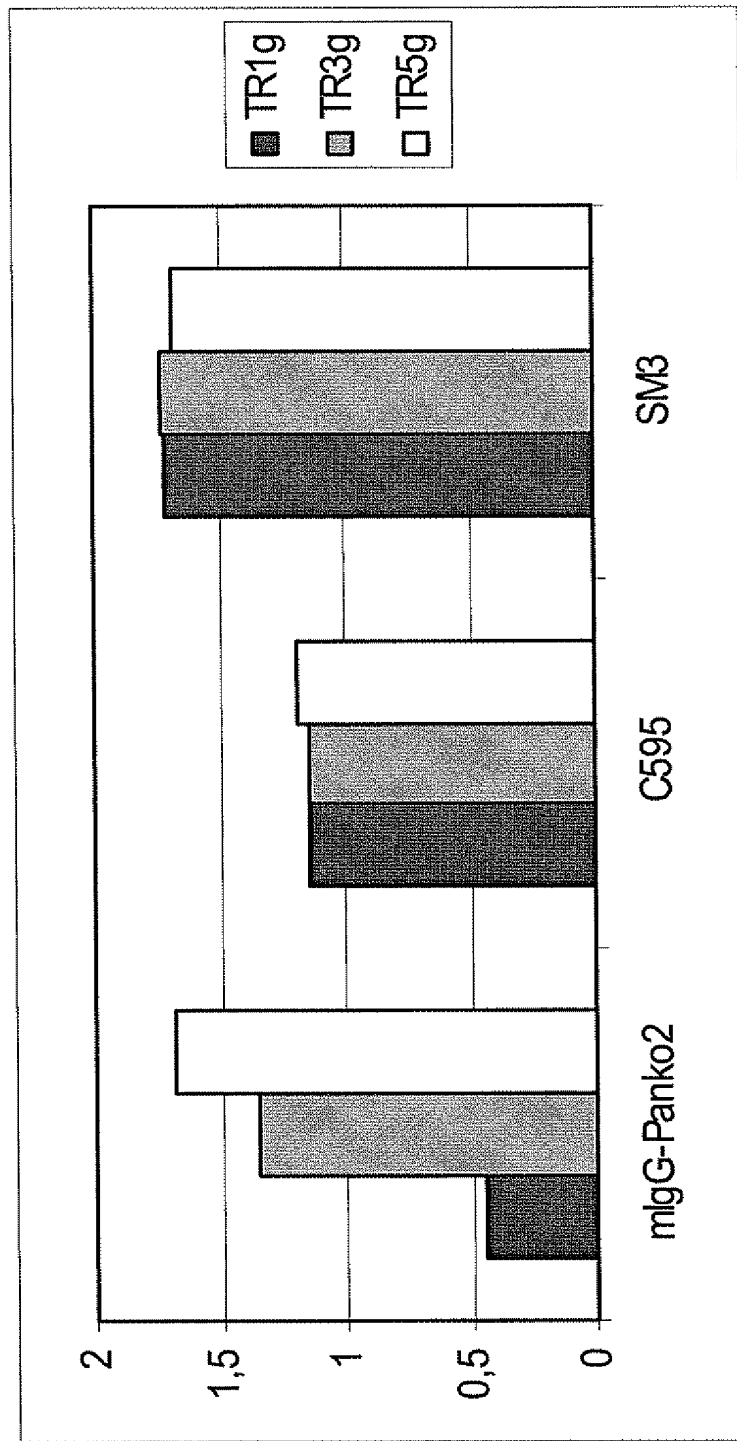
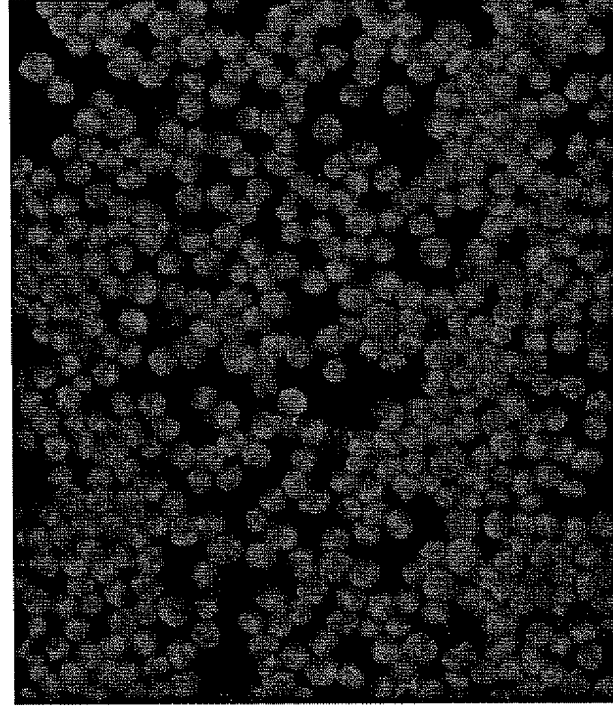


Fig. 9



Fig. 10

Control



cIgG-Panko1

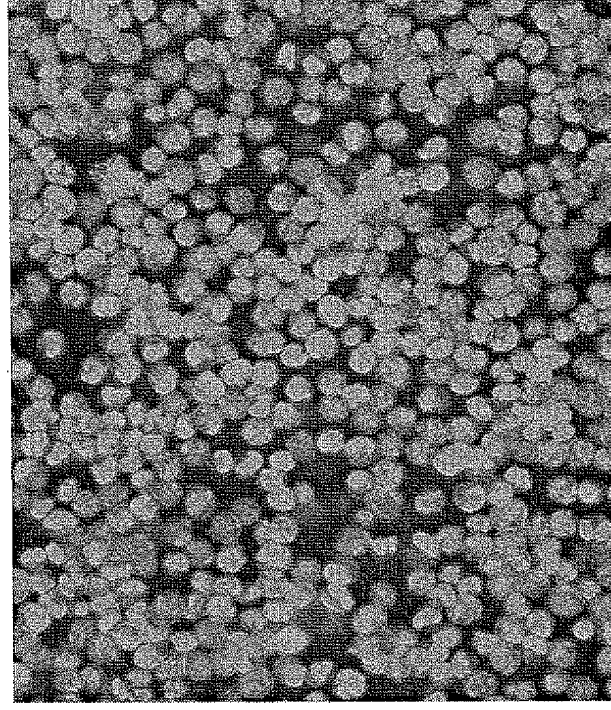


Fig. 11a

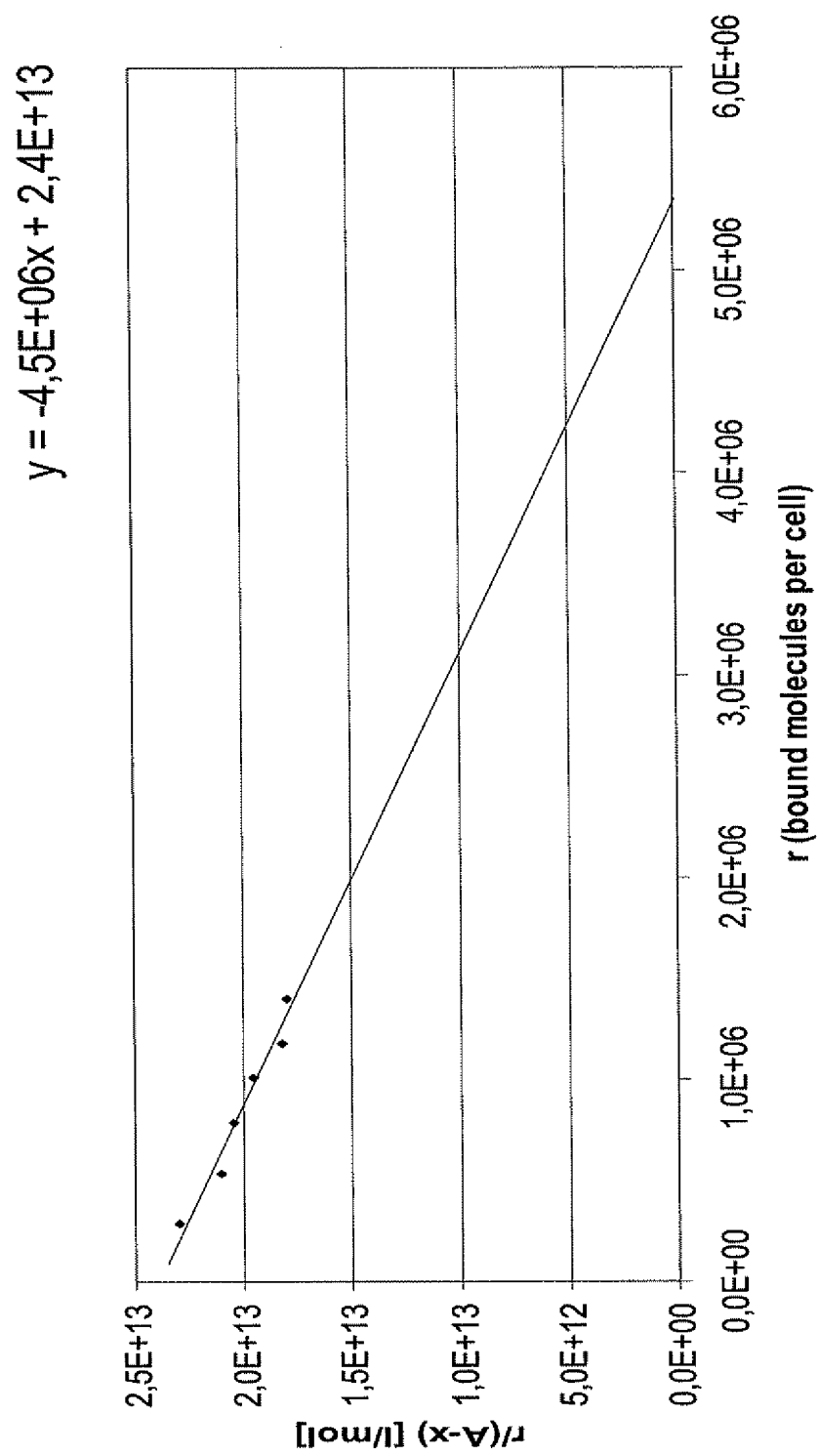


Fig. 11b

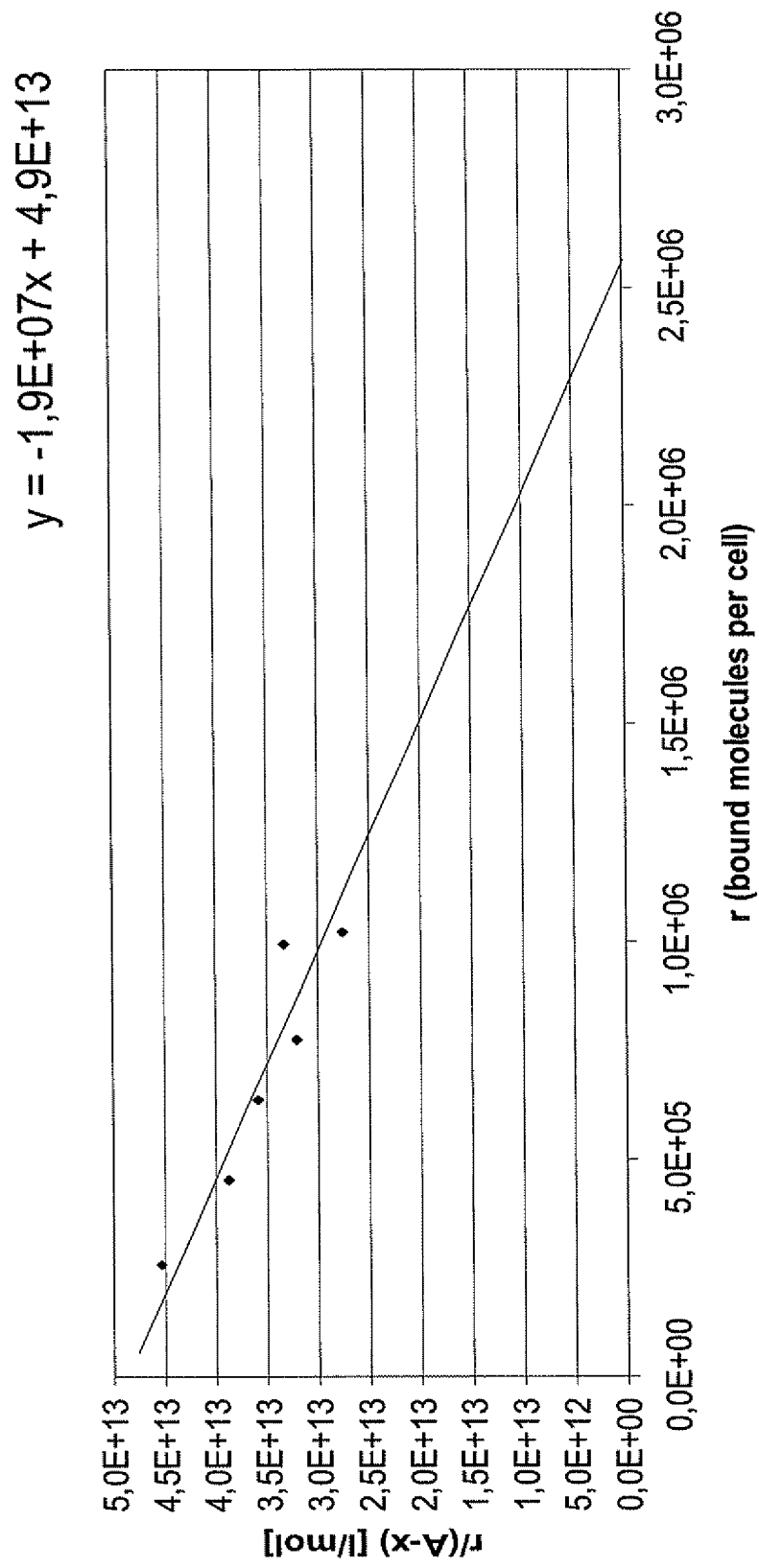


Fig. 12

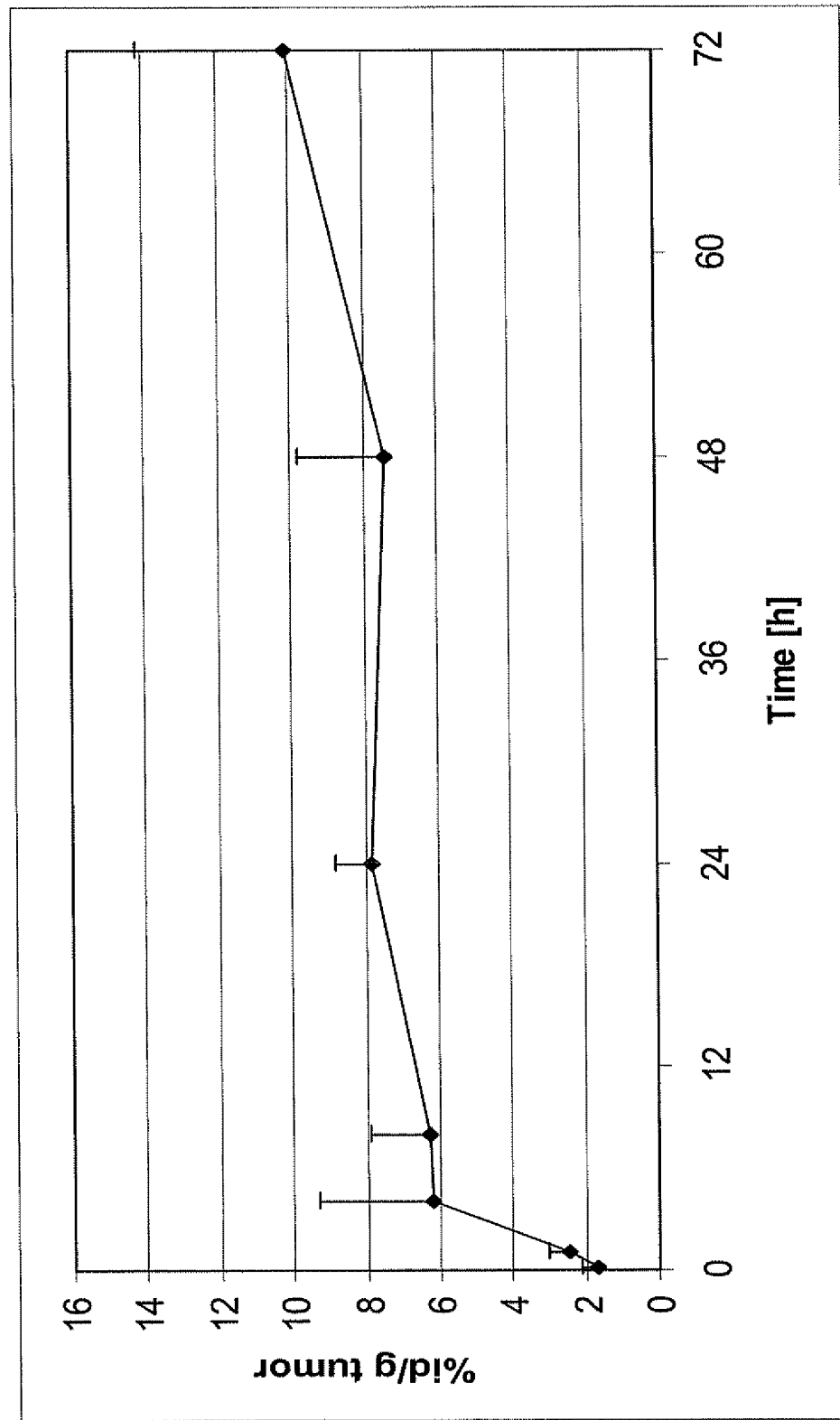


Fig. 13

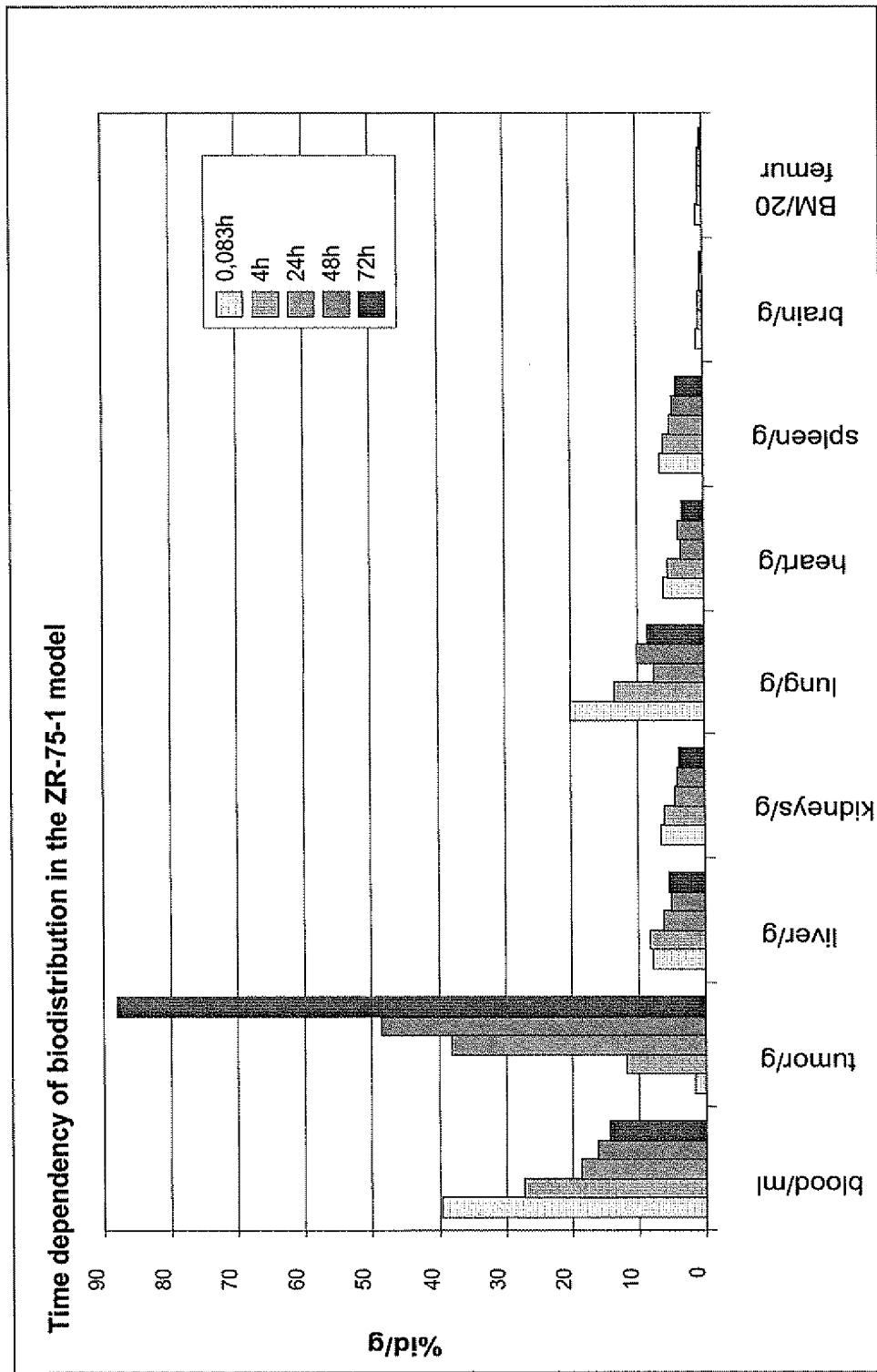


Fig. 14a

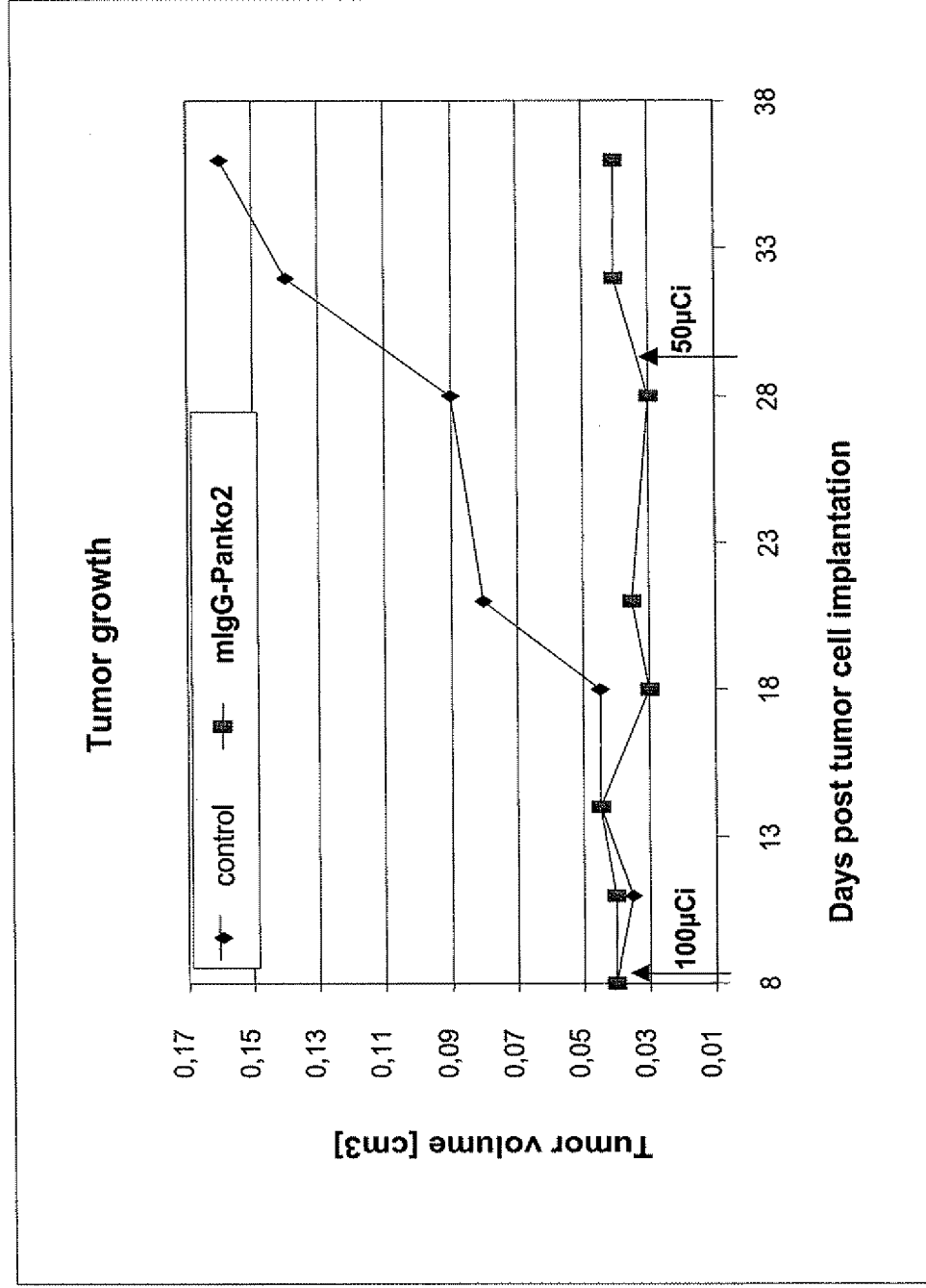


Fig. 14b

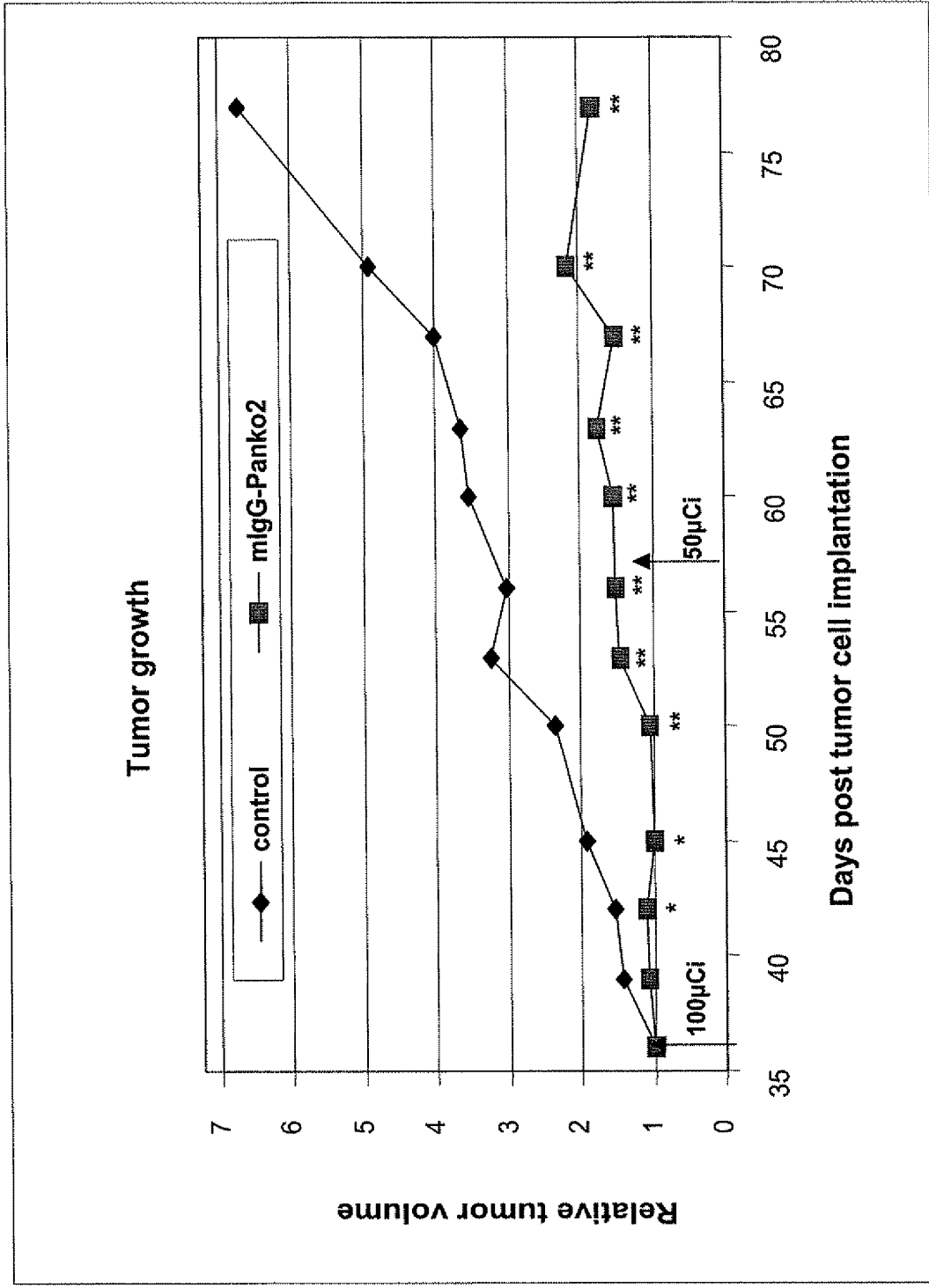


Fig. 14c

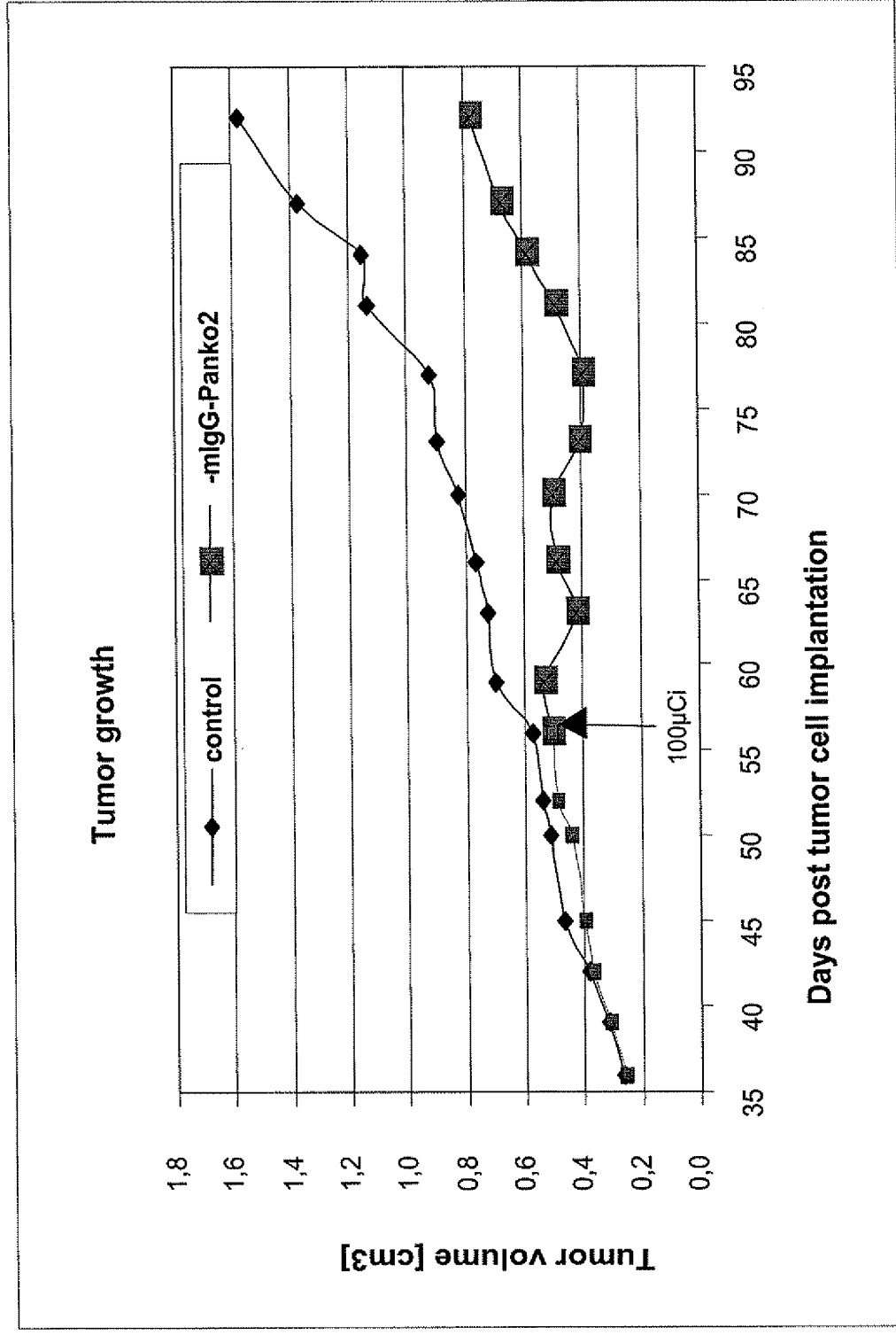


Fig. 14d

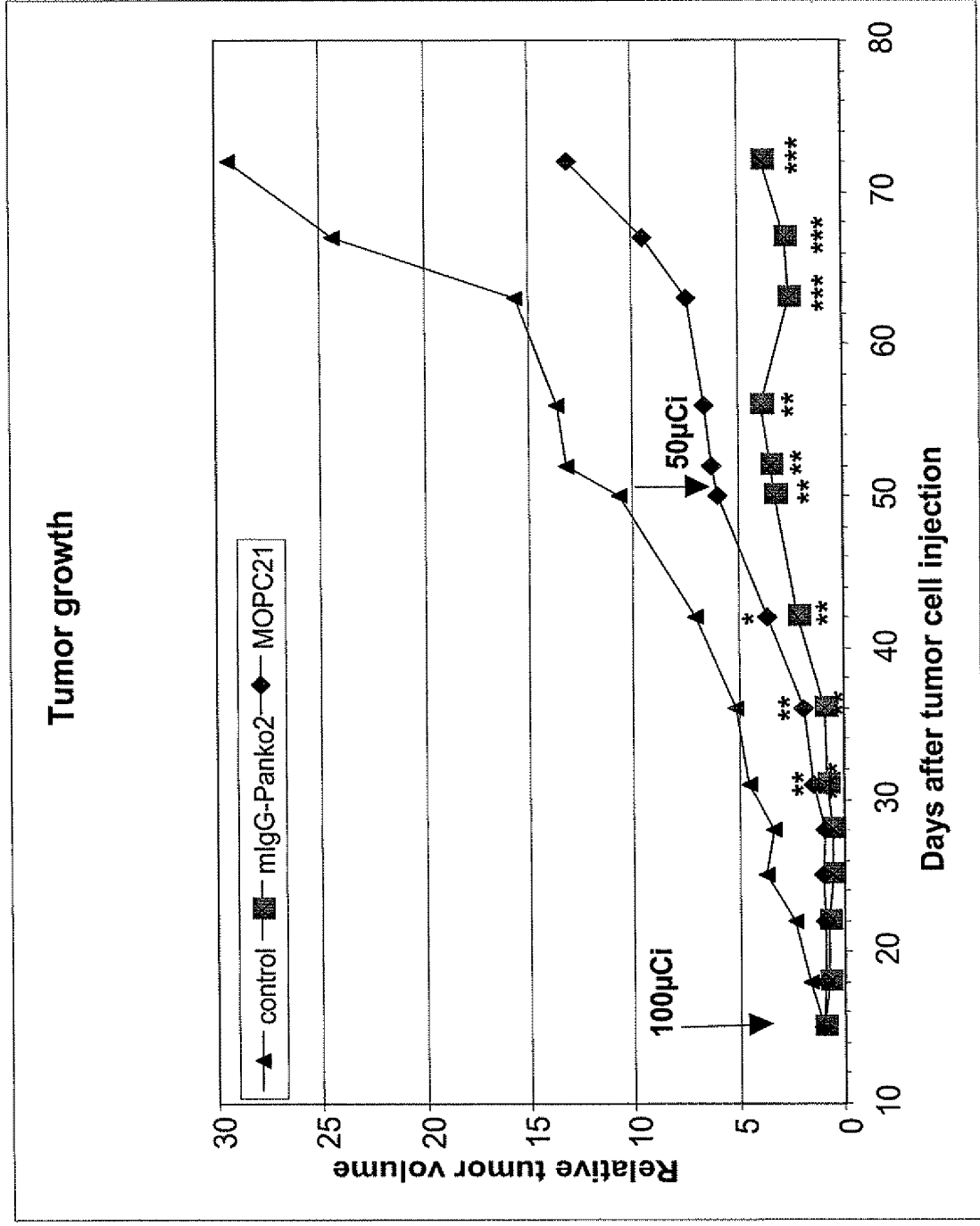


Fig. 15a

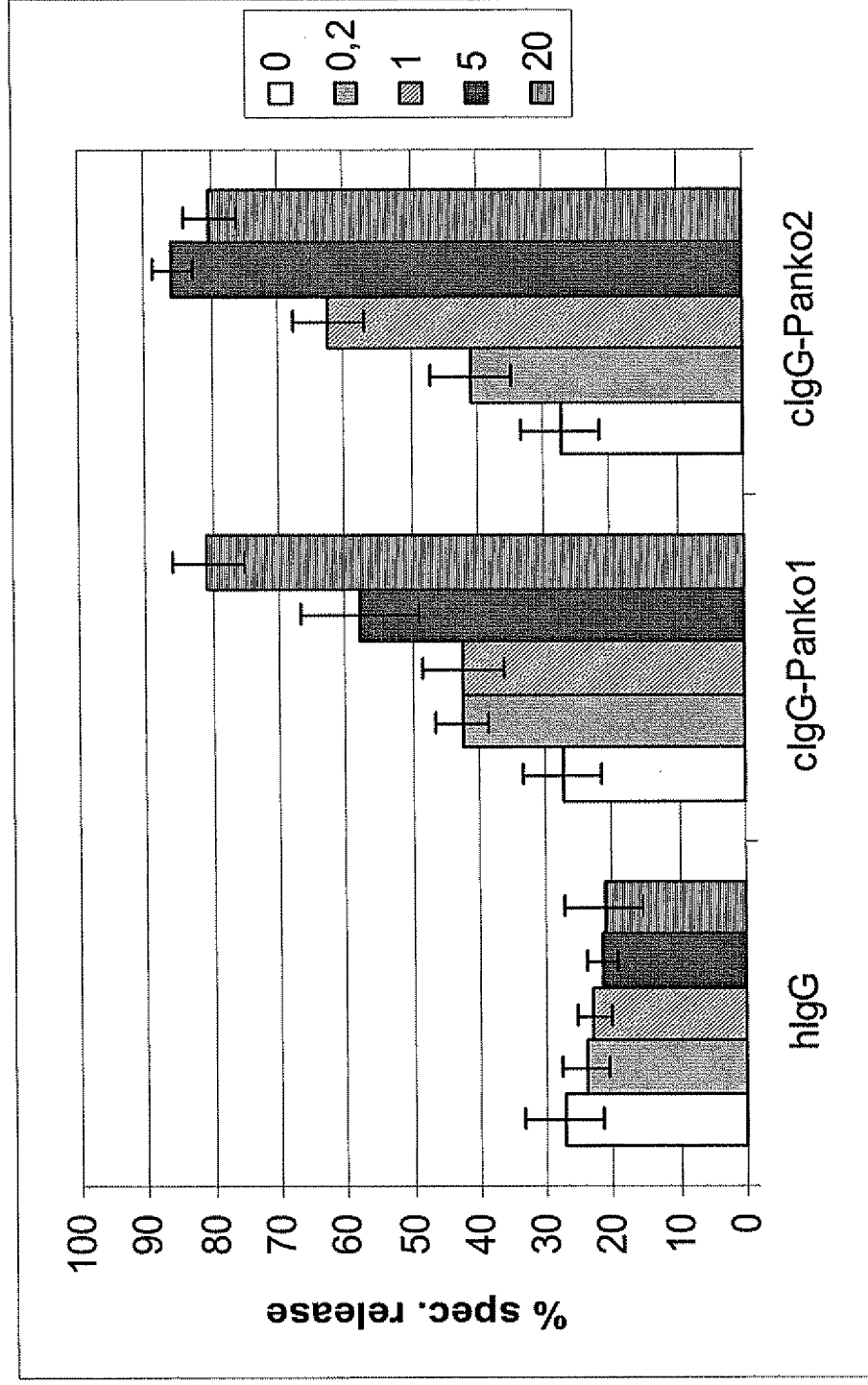


Fig. 15b

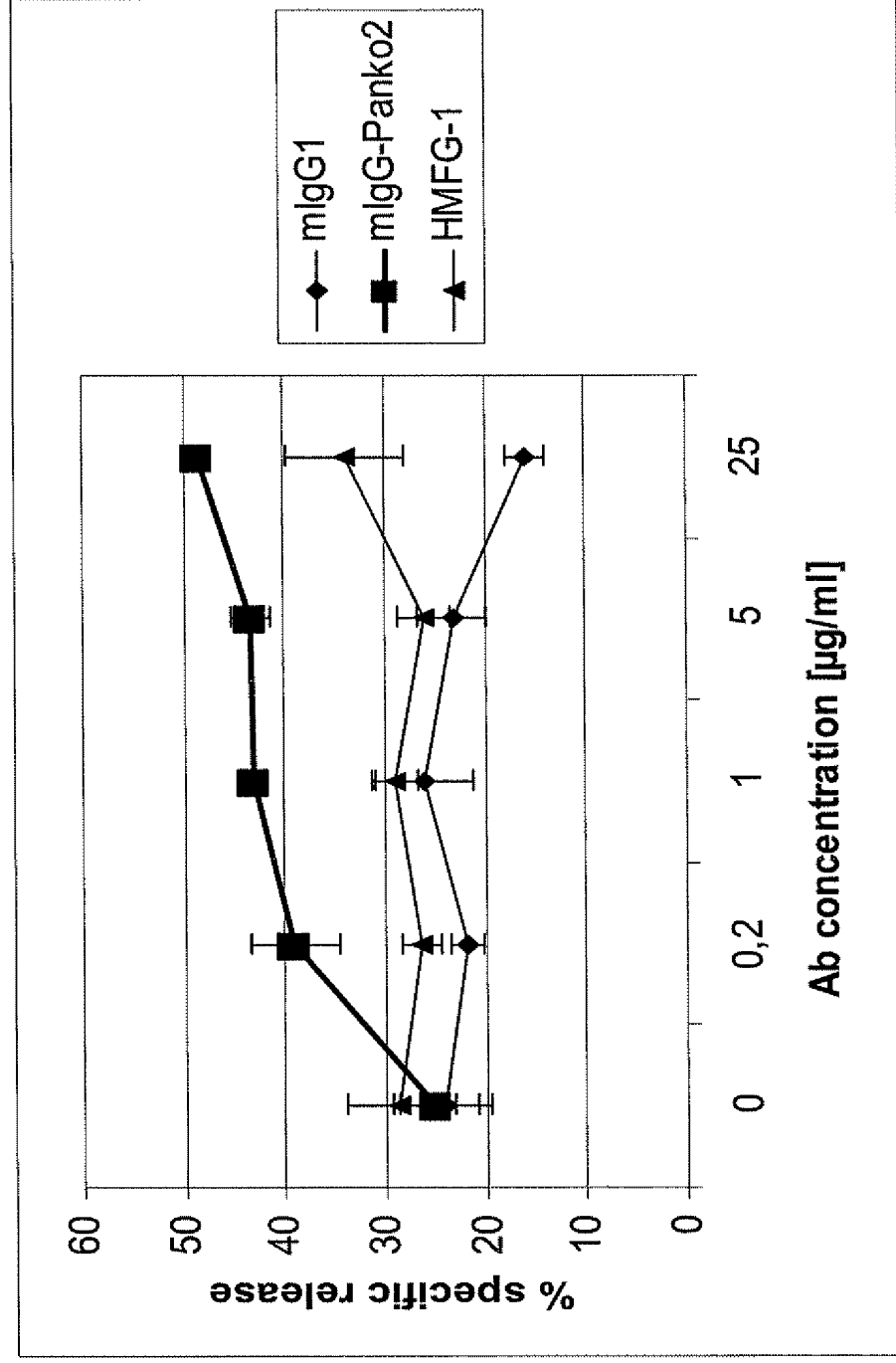


Fig. 16

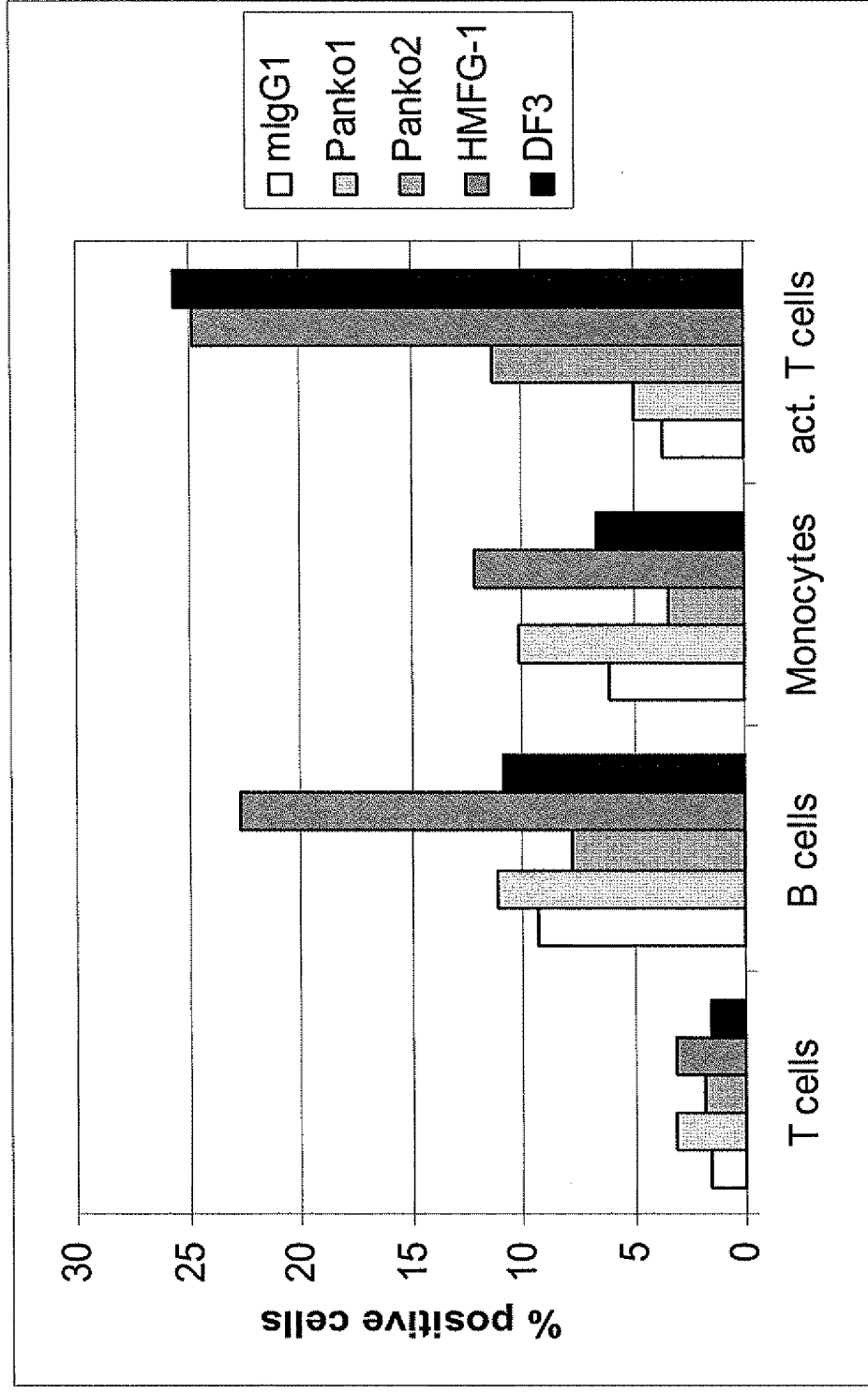


Fig. 14a

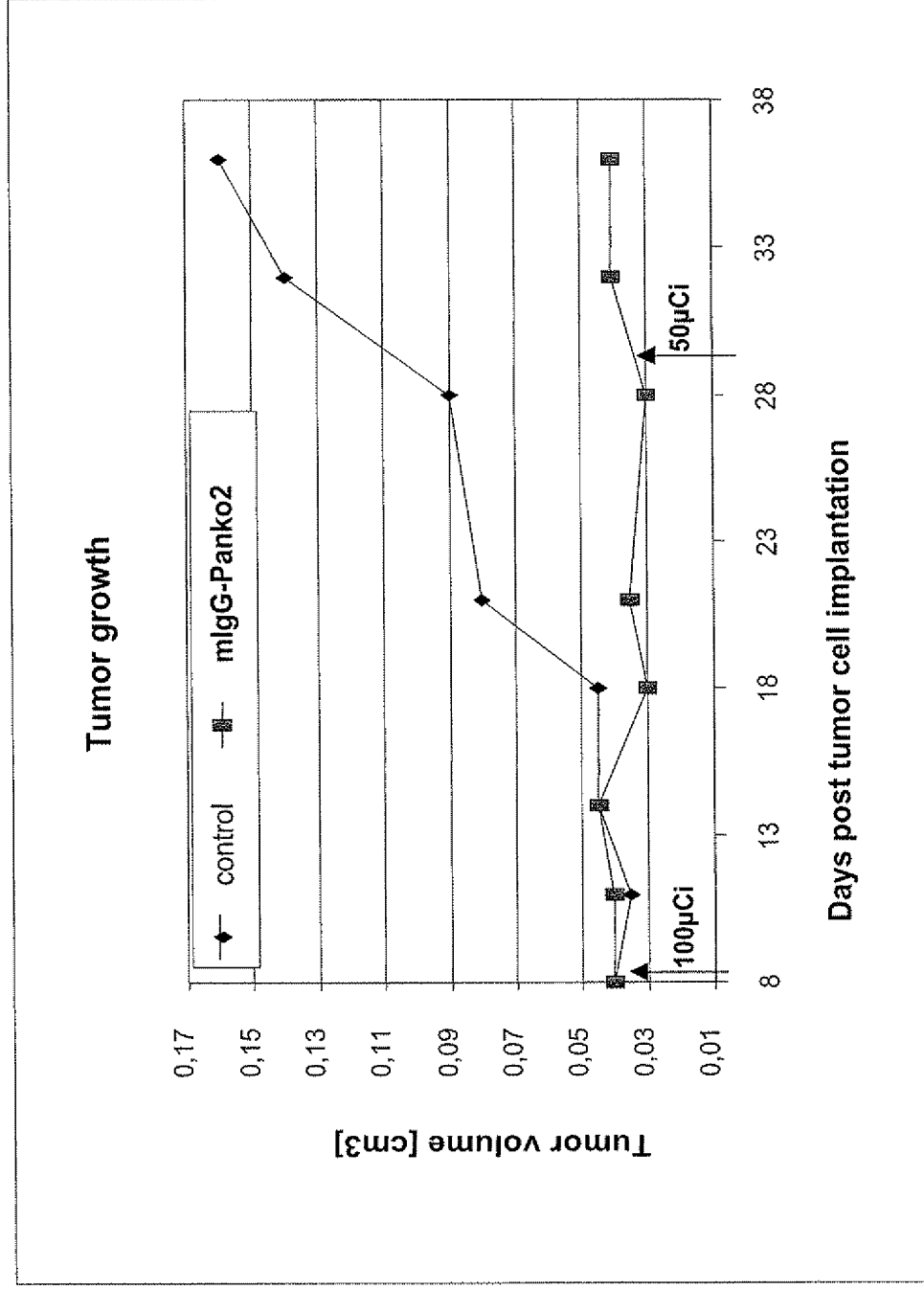


Fig. 14b

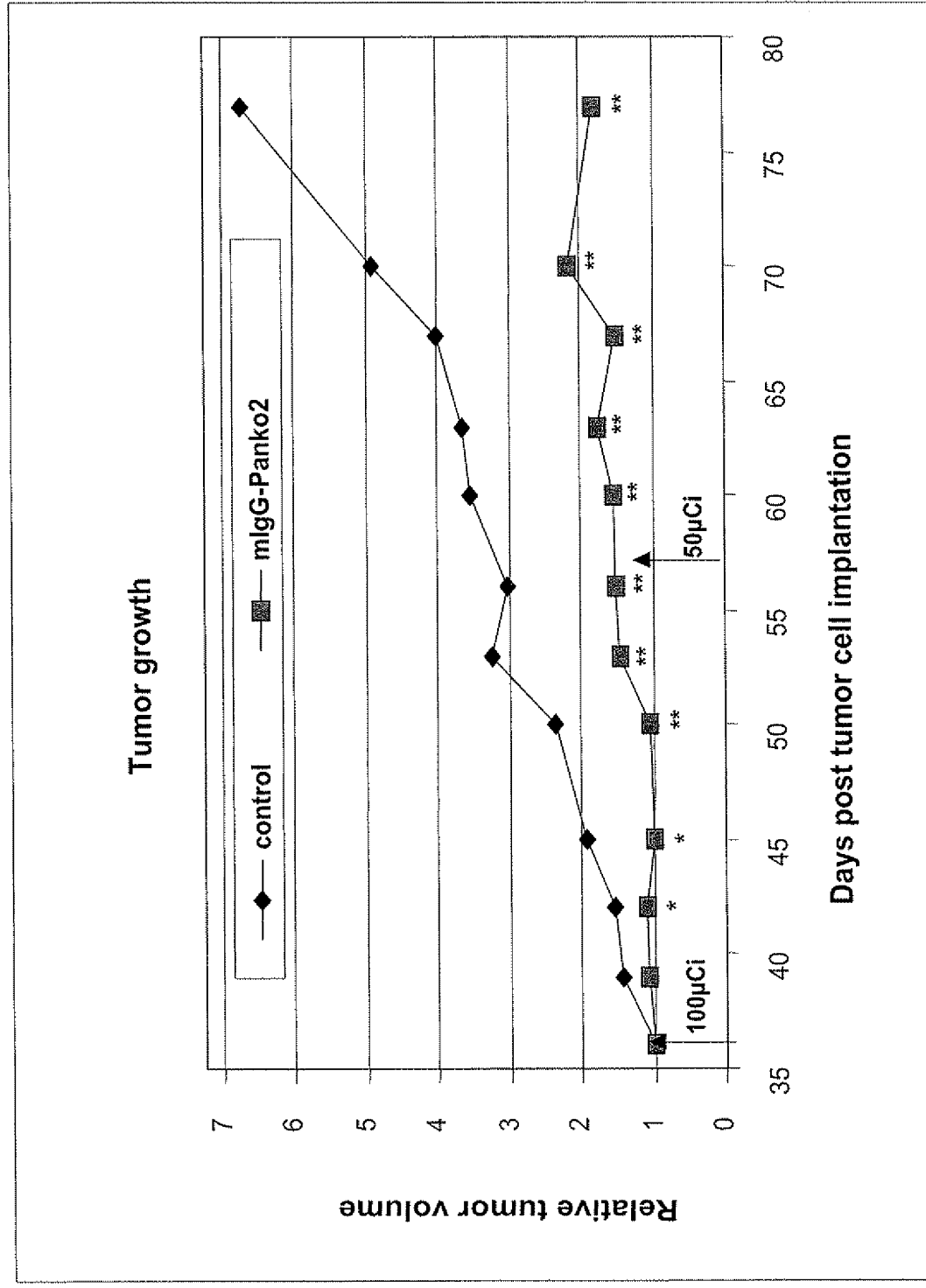


Fig. 14c

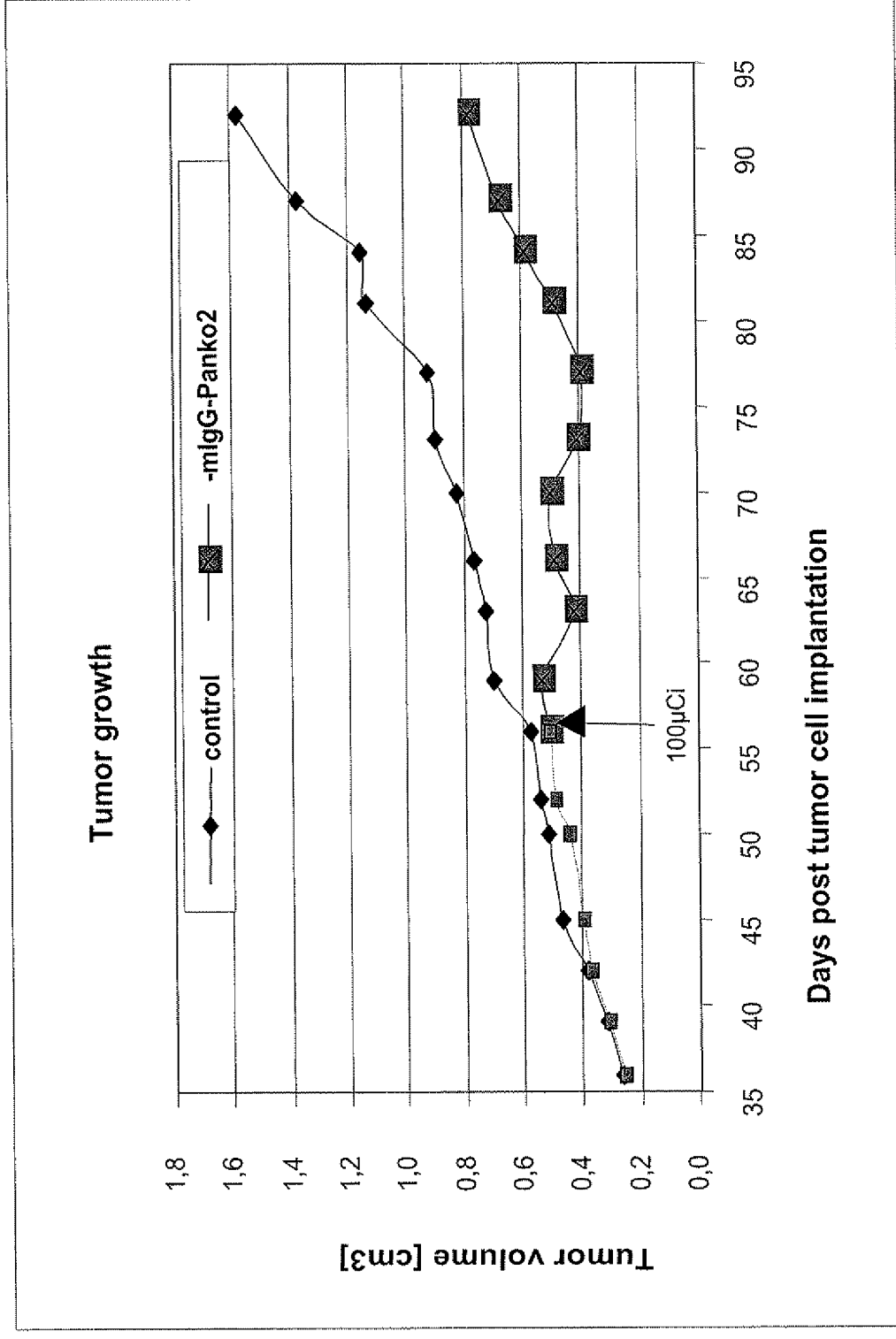


Fig. 14d

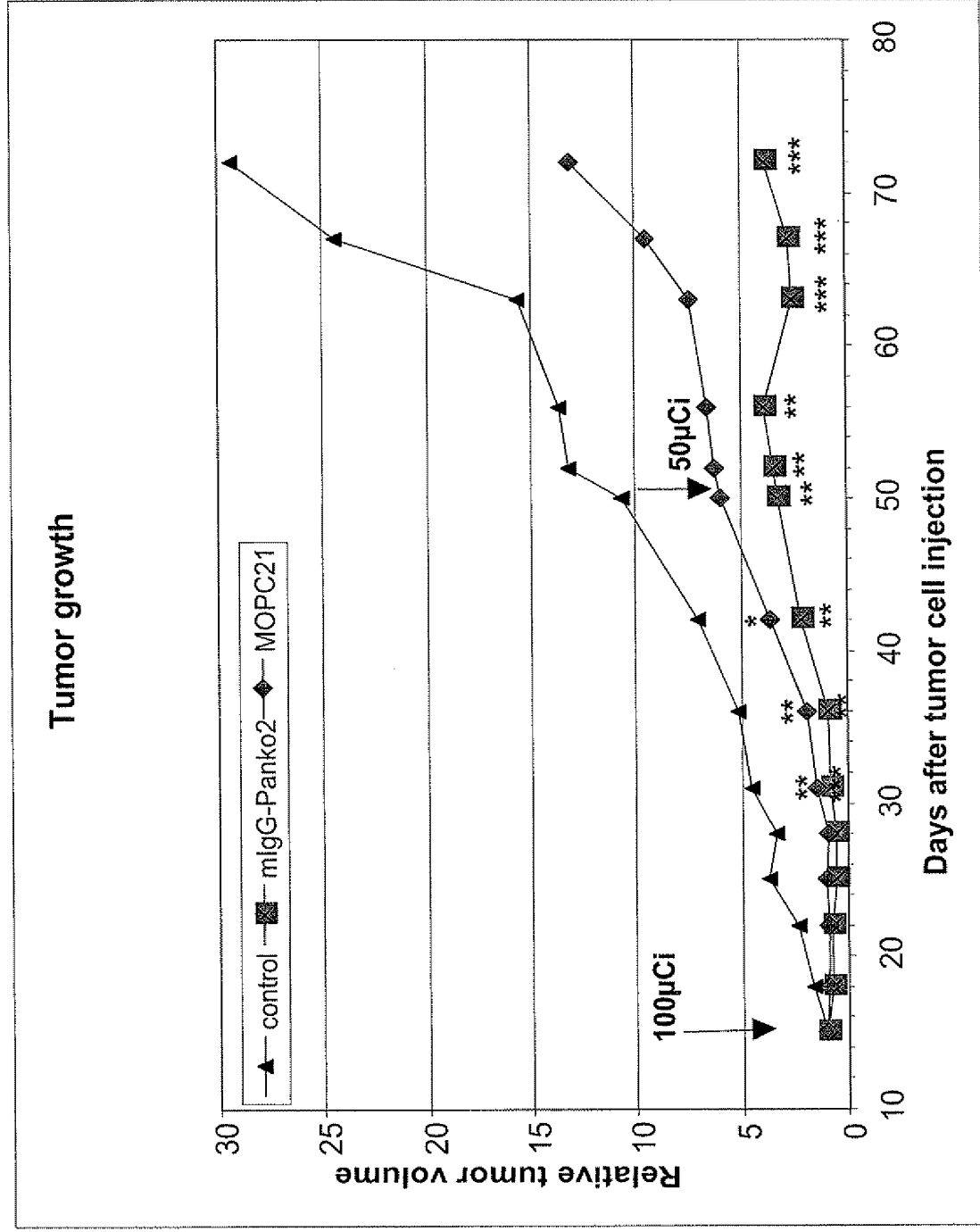


Fig. 15a

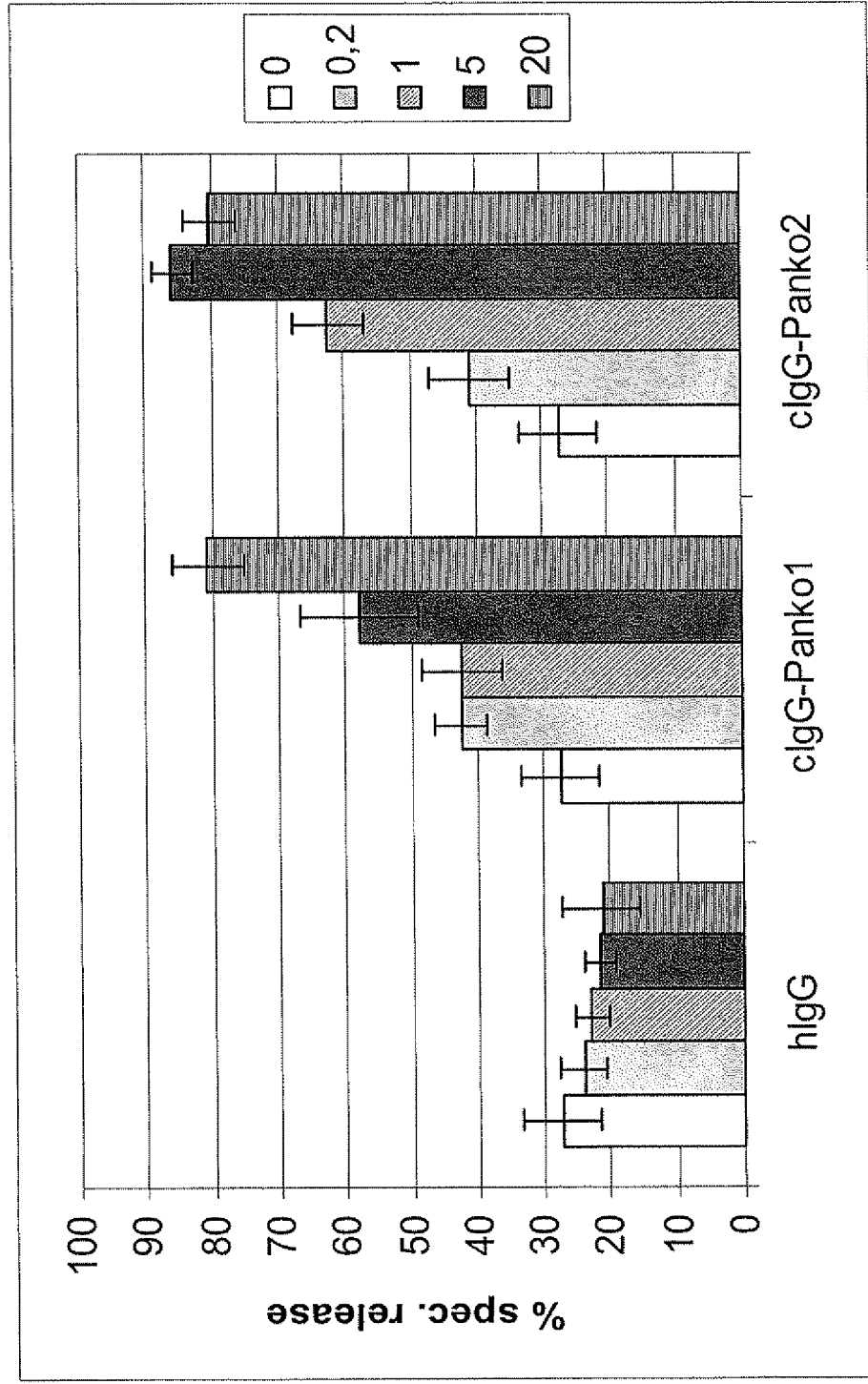


Fig. 15b

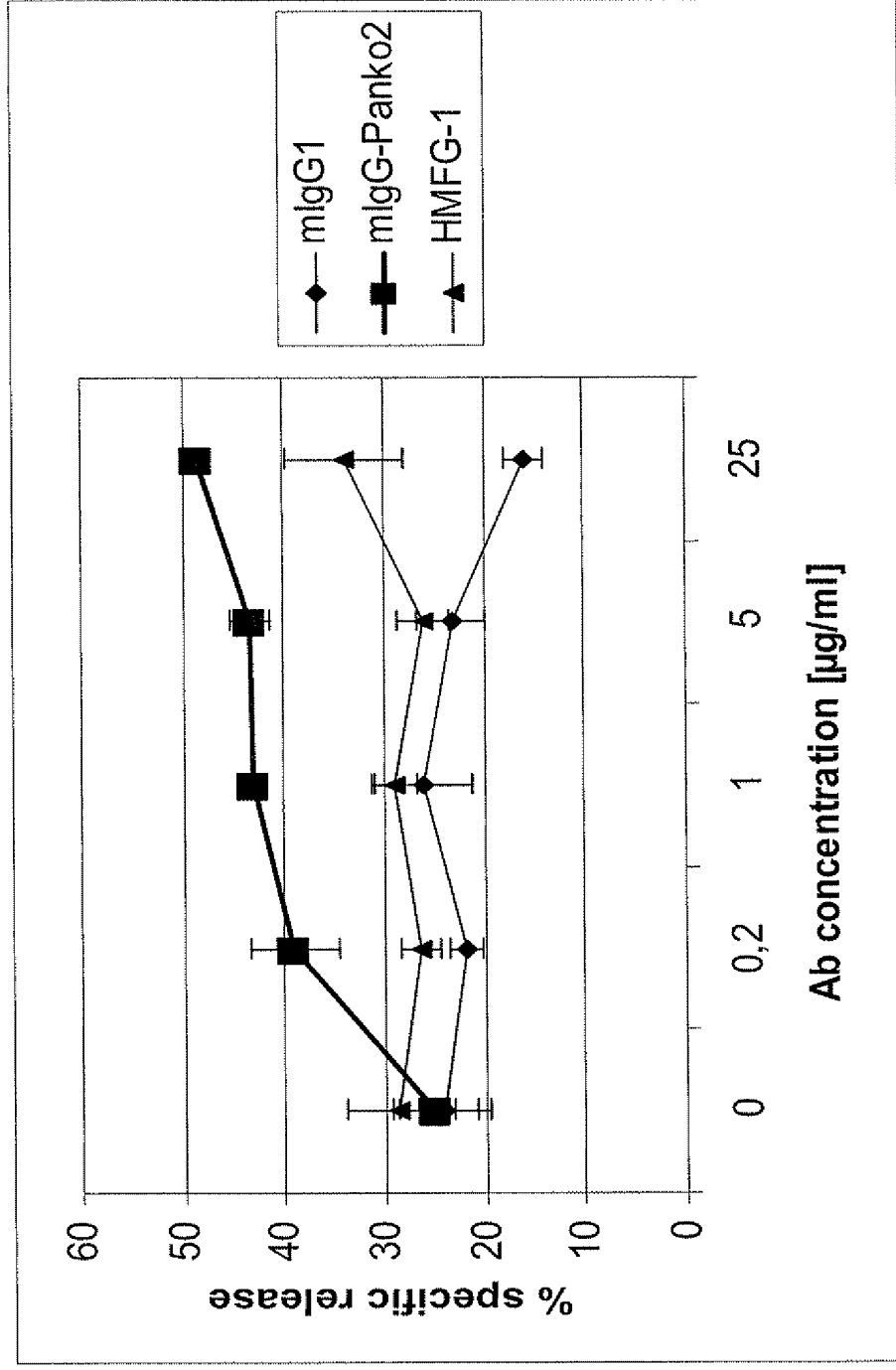


Fig. 16

